

# Starkniederschlagshöhen und -spenden gemäß KOSTRA-DWD-2020

## Rasterfeld 97119

(Zeile 97, Spalte 119)

### Regenspende und Bemessungsniederschlagswerte in Abhängigkeit von Wiederkehrzeit T und Dauerstufe D

| Dauerstufe D |     | Wiederkehrzeit T |            |      |            |      |            |      |            |       |            |       |            |       |            |       |            |       |            |
|--------------|-----|------------------|------------|------|------------|------|------------|------|------------|-------|------------|-------|------------|-------|------------|-------|------------|-------|------------|
|              |     | 1 a              |            | 2 a  |            | 3 a  |            | 5 a  |            | 10 a  |            | 20 a  |            | 30 a  |            | 50 a  |            | 100 a |            |
| min          | Std | mm               | l / (s ha) | mm   | l / (s ha) | mm   | l / (s ha) | mm   | l / (s ha) | mm    | l / (s ha) | mm    | l / (s ha) | mm    | l / (s ha) | mm    | l / (s ha) | mm    | l / (s ha) |
| 5            |     | 6,7              | 223,3      | 8,3  | 276,7      | 9,2  | 306,7      | 10,5 | 350,0      | 12,3  | 410,0      | 14,2  | 473,3      | 15,4  | 513,3      | 17,0  | 566,7      | 19,3  | 643,3      |
| 10           |     | 8,7              | 145,0      | 10,7 | 178,3      | 11,9 | 198,3      | 13,5 | 225,0      | 15,9  | 265,0      | 18,3  | 305,0      | 19,9  | 331,7      | 21,9  | 365,0      | 24,9  | 415,0      |
| 15           |     | 9,9              | 110,0      | 12,2 | 135,6      | 13,6 | 151,1      | 15,4 | 171,1      | 18,1  | 201,1      | 20,9  | 232,2      | 22,7  | 252,2      | 25,0  | 277,8      | 28,4  | 315,6      |
| 20           |     | 10,8             | 90,0       | 13,3 | 110,8      | 14,8 | 123,3      | 16,9 | 140,8      | 19,8  | 165,0      | 22,8  | 190,0      | 24,8  | 206,7      | 27,4  | 228,3      | 31,1  | 259,2      |
| 30           |     | 12,2             | 67,8       | 15,0 | 83,3       | 16,7 | 92,8       | 19,0 | 105,6      | 22,3  | 123,9      | 25,7  | 142,8      | 27,9  | 155,0      | 30,9  | 171,7      | 35,0  | 194,4      |
| 45           |     | 13,7             | 50,7       | 16,8 | 62,2       | 18,8 | 69,6       | 21,4 | 79,3       | 25,1  | 93,0       | 28,9  | 107,0      | 31,4  | 116,3      | 34,6  | 128,1      | 39,3  | 145,6      |
| 60           | 1   | 14,8             | 41,1       | 18,2 | 50,6       | 20,4 | 56,7       | 23,1 | 64,2       | 27,1  | 75,3       | 31,3  | 86,9       | 34,0  | 94,4       | 37,5  | 104,2      | 42,6  | 118,3      |
| 90           | 1,5 | 16,6             | 30,7       | 20,4 | 37,8       | 22,8 | 42,2       | 25,9 | 48,0       | 30,3  | 56,1       | 34,9  | 64,6       | 38,0  | 70,4       | 41,9  | 77,6       | 47,6  | 88,1       |
| 120          | 2   | 17,9             | 24,9       | 22,0 | 30,6       | 24,6 | 34,2       | 28,0 | 38,9       | 32,8  | 45,6       | 37,8  | 52,5       | 41,0  | 56,9       | 45,3  | 62,9       | 51,4  | 71,4       |
| 180          | 3   | 20,0             | 18,5       | 24,6 | 22,8       | 27,4 | 25,4       | 31,2 | 28,9       | 36,6  | 33,9       | 42,1  | 39,0       | 45,8  | 42,4       | 50,5  | 46,8       | 57,4  | 53,1       |
| 240          | 4   | 21,6             | 15,0       | 26,5 | 18,4       | 29,6 | 20,6       | 33,6 | 23,3       | 39,5  | 27,4       | 45,5  | 31,6       | 49,4  | 34,3       | 54,5  | 37,8       | 61,9  | 43,0       |
| 360          | 6   | 24,0             | 11,1       | 29,5 | 13,7       | 33,0 | 15,3       | 37,5 | 17,4       | 43,9  | 20,3       | 50,6  | 23,4       | 55,0  | 25,5       | 60,7  | 28,1       | 69,0  | 31,9       |
| 540          | 9   | 26,7             | 8,2        | 32,9 | 10,2       | 36,7 | 11,3       | 41,7 | 12,9       | 48,9  | 15,1       | 56,4  | 17,4       | 61,2  | 18,9       | 67,6  | 20,9       | 76,7  | 23,7       |
| 720          | 12  | 28,8             | 6,7        | 35,5 | 8,2        | 39,6 | 9,2        | 45,0 | 10,4       | 52,8  | 12,2       | 60,8  | 14,1       | 66,0  | 15,3       | 72,9  | 16,9       | 82,8  | 19,2       |
| 1080         | 18  | 32,1             | 5,0        | 39,5 | 6,1        | 44,0 | 6,8        | 50,0 | 7,7        | 58,7  | 9,1        | 67,6  | 10,4       | 73,5  | 11,3       | 81,1  | 12,5       | 92,1  | 14,2       |
| 1440         | 24  | 34,6             | 4,0        | 42,6 | 4,9        | 47,5 | 5,5        | 54,0 | 6,3        | 63,3  | 7,3        | 73,0  | 8,4        | 79,3  | 9,2        | 87,5  | 10,1       | 99,4  | 11,5       |
| 2880         | 48  | 41,5             | 2,4        | 51,1 | 3,0        | 57,0 | 3,3        | 64,8 | 3,8        | 76,0  | 4,4        | 87,5  | 5,1        | 95,1  | 5,5        | 105,0 | 6,1        | 119,2 | 6,9        |
| 4320         | 72  | 46,2             | 1,8        | 56,8 | 2,2        | 63,4 | 2,4        | 72,0 | 2,8        | 84,5  | 3,3        | 97,3  | 3,8        | 105,8 | 4,1        | 116,8 | 4,5        | 132,6 | 5,1        |
| 5760         | 96  | 49,8             | 1,4        | 61,3 | 1,8        | 68,4 | 2,0        | 77,7 | 2,2        | 91,1  | 2,6        | 105,0 | 3,0        | 114,1 | 3,3        | 125,9 | 3,6        | 143,0 | 4,1        |
| 7200         | 120 | 52,8             | 1,2        | 64,9 | 1,5        | 72,5 | 1,7        | 82,4 | 1,9        | 96,6  | 2,2        | 111,3 | 2,6        | 120,9 | 2,8        | 133,5 | 3,1        | 151,6 | 3,5        |
| 8640         | 144 | 55,4             | 1,1        | 68,1 | 1,3        | 76,0 | 1,5        | 86,4 | 1,7        | 101,3 | 2,0        | 116,8 | 2,3        | 126,9 | 2,4        | 140,1 | 2,7        | 159,0 | 3,1        |
| 10080        | 168 | 57,7             | 1,0        | 70,9 | 1,2        | 79,2 | 1,3        | 90,0 | 1,5        | 105,5 | 1,7        | 121,6 | 2,0        | 132,1 | 2,2        | 145,9 | 2,4        | 165,6 | 2,7        |

# Starkniederschlagshöhen und -spenden gemäß KOSTRA-DWD-2020

## Rasterfeld 97119

(Zeile 97, Spalte 119)

### Örtliche Unsicherheiten in Abhängigkeit von Wiederkehrzeit T und Dauerstufe D

| Dauerstufe D |     | Wiederkehrzeit T |     |     |     |      |      |      |      |       |
|--------------|-----|------------------|-----|-----|-----|------|------|------|------|-------|
|              |     | 1 a              | 2 a | 3 a | 5 a | 10 a | 20 a | 30 a | 50 a | 100 a |
| min          | Std | ± %              | ± % | ± % | ± % | ± %  | ± %  | ± %  | ± %  | ± %   |
| 5            |     | 15               | 17  | 17  | 18  | 19   | 20   | 21   | 21   | 21    |
| 10           |     | 17               | 19  | 20  | 21  | 23   | 23   | 24   | 24   | 25    |
| 15           |     | 18               | 20  | 21  | 23  | 24   | 25   | 25   | 26   | 27    |
| 20           |     | 18               | 21  | 22  | 23  | 24   | 25   | 26   | 26   | 27    |
| 30           |     | 18               | 21  | 22  | 23  | 24   | 25   | 26   | 26   | 27    |
| 45           |     | 18               | 20  | 21  | 22  | 24   | 25   | 25   | 26   | 27    |
| 60           | 1   | 17               | 19  | 20  | 22  | 23   | 24   | 25   | 25   | 26    |
| 90           | 1,5 | 16               | 18  | 19  | 21  | 22   | 23   | 24   | 24   | 25    |
| 120          | 2   | 15               | 17  | 19  | 20  | 21   | 22   | 23   | 23   | 24    |
| 180          | 3   | 14               | 16  | 17  | 19  | 20   | 21   | 22   | 22   | 23    |
| 240          | 4   | 14               | 16  | 17  | 18  | 19   | 20   | 21   | 21   | 22    |
| 360          | 6   | 13               | 15  | 16  | 17  | 18   | 19   | 20   | 20   | 21    |
| 540          | 9   | 13               | 15  | 15  | 16  | 17   | 18   | 19   | 19   | 20    |
| 720          | 12  | 13               | 14  | 15  | 16  | 17   | 18   | 18   | 19   | 19    |
| 1080         | 18  | 14               | 15  | 15  | 16  | 17   | 18   | 18   | 18   | 19    |
| 1440         | 24  | 15               | 15  | 16  | 16  | 17   | 18   | 18   | 18   | 19    |
| 2880         | 48  | 18               | 18  | 18  | 18  | 18   | 18   | 19   | 19   | 19    |
| 4320         | 72  | 20               | 19  | 19  | 19  | 19   | 20   | 20   | 20   | 20    |
| 5760         | 96  | 22               | 21  | 21  | 21  | 20   | 21   | 21   | 21   | 21    |
| 7200         | 120 | 23               | 22  | 22  | 22  | 21   | 21   | 21   | 22   | 22    |
| 8640         | 144 | 24               | 23  | 23  | 22  | 22   | 22   | 22   | 22   | 22    |
| 10080        | 168 | 25               | 24  | 24  | 23  | 23   | 23   | 23   | 23   | 23    |

### Parameter für abweichende T und D

#### Lokationsparameter $\xi$ (Xi)

15,05375494

#### Skalenparameter $\alpha$ (Alpha)

4,8197128

#### Formparameter $\kappa$ (Kappa)

-0,1

#### 1. Koutsoyiannis-Parameter $\theta$ (Theta)

0,01946566

#### 2. Koutsoyiannis-Parameter $\eta$ (Eta)

0,73777884

Parameter für dauerstufenübergreifende Extremwertschätzung nach KOUTSOYIANNIS et al. 1998.

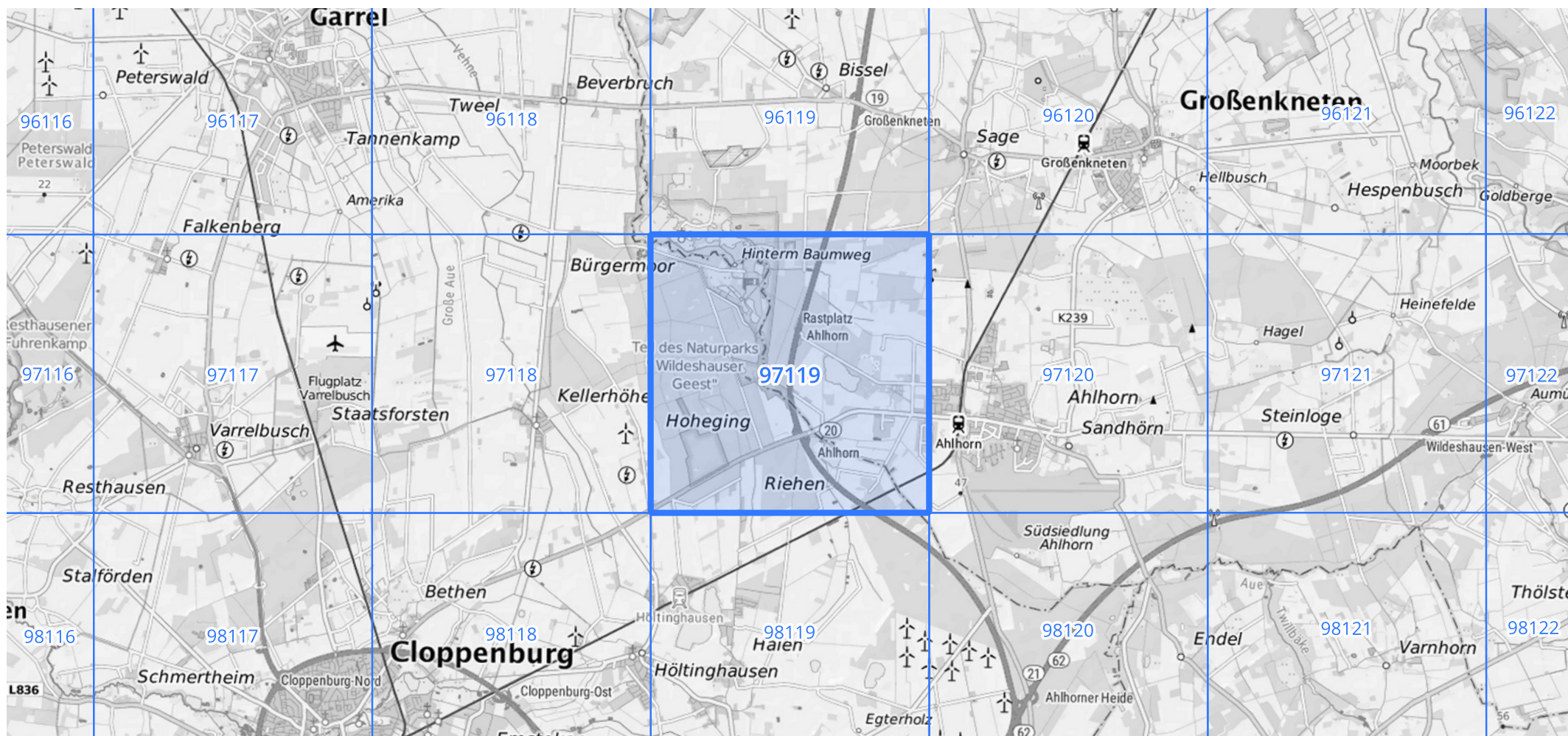
Siehe auch Anwendungshilfe zu KOSTRA-DWD-2020 des Deutschen Wetterdienstes.

## Starkniederschlagshöhen und -spenden gemäß KOSTRA-DWD-2020

## Rasterfeld 97119

(Zeile 97, Spalte 119)

## Übersichtskarte des Rasterfeldes 97119, M 1 : 100 000



Quelle Rasterdaten: KOSTRA-DWD-2020 des Deutschen Wetterdienstes, Stand 12/2022.

Seite 3 von 3

Kartendarstellung: © Bundesamt für Kartographie und Geodäsie (2023), Datenquellen: [https://sgx.geodatenzentrum.de/web\\_public/gdz/datenquellen/Datenquellen\\_TopPlusOpen.html](https://sgx.geodatenzentrum.de/web_public/gdz/datenquellen/Datenquellen_TopPlusOpen.html)

Für die Richtigkeit und Aktualität der Angaben wird keine Gewähr übernommen. Erstellt 01/2023.